

IV—5 交通流の特性～旭川市の街路交通について

北海道大学工学部 正員 加来 照俊
 " " 中辻 隆
 " " ○ 藤原 隆
 神戸 大

1. まえがき

交通管制システムは、交通安全施設等整備事業に関する緊急措置法および同施行令によると、そぞら道路交通に関する情報の収集、分析及び伝達、信号機、道路標識及び道路標示の操作並びに警察官及び巡回員に対する交通規制に関する指令を一體的かつ有機的に行なうためのものであるとされている。

本道においては、昭和47年に札幌市で交通管制センターが運用を開始して以来、昭和54年には旭川市、昭和56年には函館市、そして昭和58年には苫小牧市にそれぞれセンター、サブセンターが設置され、安全で円滑な交通の実現を目指し運用されている。表-1にこれらの管制センターの状況を示す。

交通管制システムの機能の一つに、上述したように交通情報の収集がある。その方法の一つに車両感知器によるデータの自動収集がある。それから、交通量(台/15分間)、時間占有率(%)、平均速度(km/h)などの情報が得られる。これらのデータを用いて、主・加来は札幌市の街路交通特性に関する解析を昭和57年に行なった。本論では、旭川市について感知器データを用いた同様の解析を行ない、街路交通に関する特性、特に交通経路や、時間変動パターンを把握することを試みた。

ちなみに、現在、旭川市では旭川新道の建設が行なわれてあり、これが供用されると交通の流れも大きく変化すると考えられる。現況の把握という意味からもこのようす解析を行なう、たということを付け加えておく。

2. 解析

図-1には、旭川市の幹線道路(図中----FP)

表-1 交通管制センターの状況

	札幌	旭川	函館	(サブセンター) 苫小牧
管制範囲 (km ²)	37.5	6.3	10.3	1.5
都市面積に対する 管制範囲の割合(%)	3.4	6.8	3.0	0.3
直接制御信号機(基)	568	121	89	38
運動制御信号機(基)	273	77	85	16
車両感知器地点数	603	207	101	45

(昭和58年3月現在)

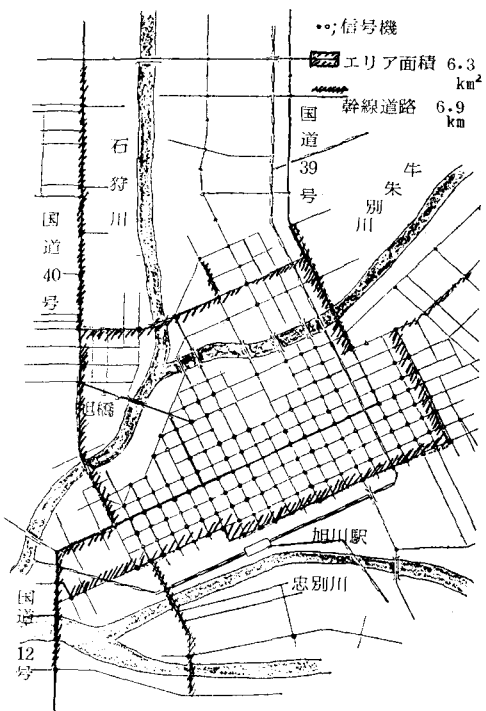


図-1 旭川市の管制エリア

管制エリア (図3FP), 信号交差点 (○印) を示す。管制エリア面積は 6.3 km^2 , エリア内の幹線道路は 6.9 km である。車両感知器は、3感, 2感, 1感、速度感知、バス感知あわせて感知地点数は昭和55年3月現在で 207 地点 (都心部 147, 幹線道路 60)、ヘッド数は 365 個 (都心部 263, 幹線道路 102) である。

本論では、得られたデータのうち特に交通量について考見、使用したデータは昭和55年8月の1ヶ月間のうち、パラッキや欠損の少ない8月1日(金)～14日(木)の2週間分であり、この時点での感知地点数は 119 地点であった。

図-2 は、交差点をはじめた路上に設置された車両感知器 No.1 およびその上流側感知器 No.3 から得られたある1日の15分間交通量をデータを表したものである。街路の場合には交差点での左折や細街路での車の流入出など、流れは複雑であるが、ここでは単純に隣接する感知器について15分間交通量の時間変動パターンの相関をもとめ、相関係数が 0.8 以上の道をもつものをえらび、感知器周辺の状況をあわせて経路をもとめるとした。その結果、得られたのが図-3 である。これから、主要幹線道路である、国道12号線・国道39号線、国道12号線・国道40号線間の流れや、1条通り、千条通りの流れが顕著なことがわかる。また南北方向では、旭川駅を中心として昭和通り、緑橋通り、永隆橋通りなどが主なものである。

さらに、個々の感知器の一日の交通量変動パターンに着目すると、おもむね次の3つに分類できる。
 (i) オ1型：朝 8～9 時にピークが明らかなるもの。
 (ii) オ2型：日中も交通量が多くピークが明らかでないもの。

(iii) オ3型：夜 17～19 時にピークが明るかなるもの。これら3つのパターンを示すのが、図-4 であり、もとよりのパターンを示す典型的な感知器をえらび、他の感知器と相関をとめてみたものが、図-5 である。図中の記号、●、○、× はもとよりオ1型、オ2型、オ3型の分類を示している。オ1型のものは都心部へむかう方向に、オ3型のものは都心から流出する方向にみられること。またオ1型とオ

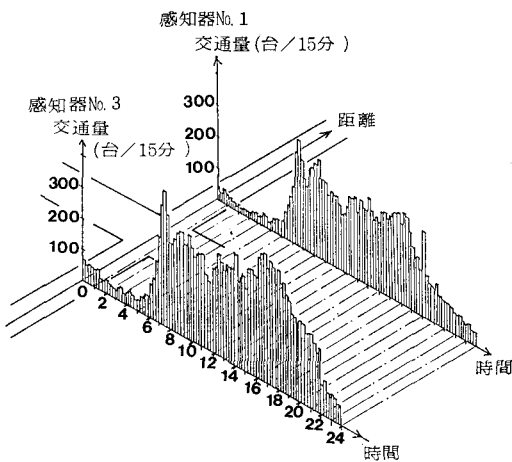


図-2 交通量データ

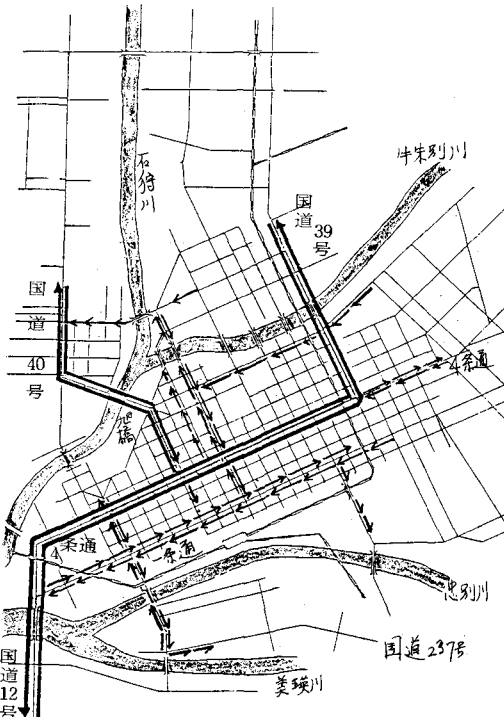


図-3 交通経路

3型は同じ道路の対面する方向にあらわれることが多く、その傾向は郊外部で顕著にあらわれている。

主要幹線道路である国道12号線、39号線、40号線では交通量が多く、オ2型のピークのはじまりしない型を示している。

トリップとの関連でみると、オ1型は通勤・通常の影響を受け、オ2型は都心部・業務交通の影響を、オ3型は帰宅交通・貨物交通の影響を受けていると考えられる。

以上のことから、3つの分類によって市街地を旭川駅を中心とした都心部、その周辺に混合した型をもつ過渡部、両側に流入出部の3つに分けたものが図-5の斜線部である。なおこの変動パターン分析に用いたデータは、昭和45年8月9日(土)午前6時45分～午後7時までの15分間交通量であり、その意味から週日のものは若干異なる可能性もあると考えられる。

3. あとがき

以上、車両感知器データ、特に交通量データを用い、非常に簡単な方法ではあるが、都市交通の大まかな様子をうかがえることことができたと思う。もちろん、相関をとるだけでは、不十分であり、周辺の状況をつかまえながら進めていくわけで、他の方法を試みる必要があると考える。また交通量のみならず、時間占有率も非常に有用な情報であり、また感知器データ自体、連続した大量のデータであるので、これらを利用せんたい。

また、まえがきでも述べたように、新しい道路網が整備されてるので、それによる変化、インパクトを適確に予測、把握することは重要であろう。

最後に、御協力いただいた北海道警察旭川交通管制センターの皆様および、種々の御脚言をいただいた北海道警察本部、辻信二氏に感謝いたします。

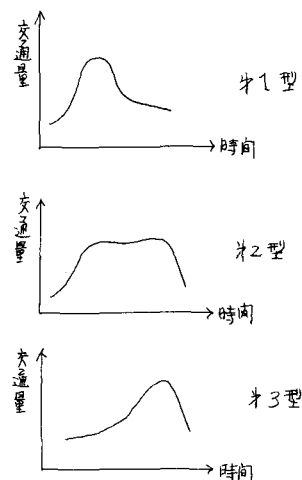


図-4 変動パターン

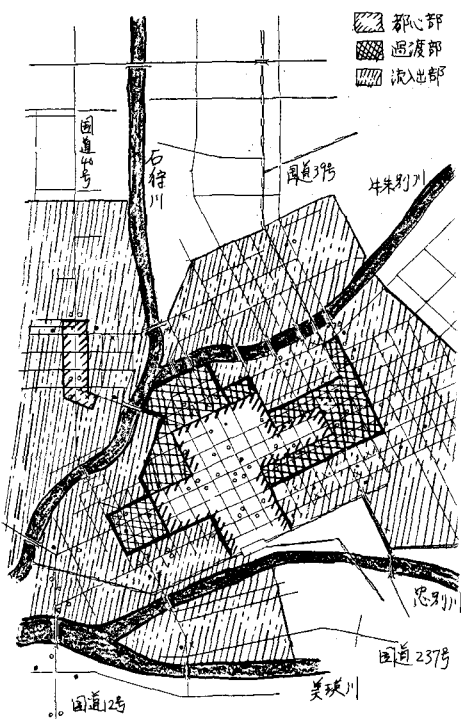


図-5 変動パターンによる分類

参考文献

- 1) 交通工学ハンドブック, 交通工学研究会編 昭和48年
- 2) 伊藤辰太郎, 交通管制システムの課題, 日刊交通, 昭和58年6月
- 3) 交通安全録書, 北海道, 昭和58年
- 4) 辻信三・加来照俊, 車両感知器のデータによる街路交通特性の解析, 土木学会北海道支部論文報告集
オ37号, 昭和56年2月
- 5) 交通年鑑, 北海道警察本部, 昭和58年
- 6) 山際裕信, 車両感知器のデータを用いた街路交通流の特性に関する研究,
北海道大学工学部土木工学科卒業論文, 昭和55年2月